



FAG

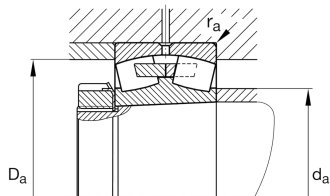
241/630-BEA-XL-K30-MB1 [↗](#)

Радиальный сферический роликоподшипник

Радиальный сферический роликоподшипник 241...-BEA-XL-K30-MB1-N40, симметричный, 2 наружных борта и один плавающий борт

X-life

Техническая информация



Ваш текущий вариант продукта

Design	BEA	With lose center lip ring
Исполнение отверстия	K30	Коническое, 1:30
Cage	MB1	Латунный сепаратор, массивный
Радиальный зазор	CN (Group N)	Normal internal clearance
Relubrication	H40	без смазочных отверстий и смазочной канавки

Основные размеры и рабочие характеристики

d	630 mm	Диаметр отверстия
D	1.030 mm	Наружный диаметр
B	400 mm	Ширина
C _r	14.800.000 N	Динамическая грузоподъемность, радиальная
C _{0r}	27.000.000 N	Статическая грузоподъемность, радиальная
C _{ur}	1.720.000 N	Предел усталостной нагрузки, радиальный
n _G	455 1/min	Предельная частота вращения
n _{gr}	146 1/min	Номинальная тепловая частота вращения
≈m	1.285,5 kg	Вес



Присоединительные размеры

$d_{a \min}$	662 mm	Мин. диаметр заплечика вала
$D_{a \max}$	998 mm	Макс. диаметр заплечика корпуса
$r_{a \max}$	6 mm	Макс. радиус галтели
$d_{a \max}$	731 mm	Макс. диаметр заплечика вала

Габаритные размеры

r_{\min}	7,5 mm	Мин. размер монтажной фаски
D_1	876,2 mm	Диаметр отверстия наружного кольца
d_s	12,5 mm	Диаметр смазочного отверстия
n_s	23,5 mm	Width of lubricating groove

Диапазон температур

T_{\min}	-30 °C	Мин. рабочая температура
T_{\max}	200 °C	Макс. рабочая температура

Коэффициенты для расчета

e	0,37	Предельное значение F_a/F_r для применимости различн. значений коэффициентов X и Y
Y_1	1,82	Динамический коэффициент осевой нагрузки
Y_2	2,7	Динамический коэффициент осевой нагрузки
Y_0	1,78	Статический коэффициент осевой нагрузки

Дополнительная информация

H241/630-HG	Закрепительная втулка
АН241/630-H	Withdrawal sleeve



Характеристики



Радиальная нагрузка



Осевая нагрузка в одном направлении



Осевая нагрузка в обоих направлениях



Смазывание пластичной смазкой



Смазывание маслом



Без уплотнений



Статические угловые и линейные несоосности



Динамические угловые и линейные несоосности